Մեխանիկա

51, №2, 1998

Механика

УДК 532.516

О РАЗВИТИИ НЕСТАЦИОНАРНОГО ТЕЧЕНИЯ ВЯЗКОЙ ЖИДКОСТИ МЕЖДУ ПАРАЛЛЕЛЬНЫМИ СТЕНКАМИ Бабаджанян Г.А.

Գ.Հ. Ռաբաջանյան Մածուցիկ հեղուկի ոչ ստացիոնար շարժման զարգացումը, բափանցիկ զուգահես հարթությունների միջե

Հոդկածում բննարկվում է իրական (մածուցիկ) անահղմելի հեղավի ոչ առացիոնար շարժման գարգացումը ծակապետ կատերով հայթ խողարակում։ Շարժման ուսաժնապերությունը բերված է Նամիե-Սուորսի հավասարումների հասուկ ձեռվ գծայնացիած համակարգի յուծմանը, համապատասվատն սկզբնական և եզրային պայմանների ասկայությումբ։ Օգավելով Լապստի կըրկնակի ինտեցրայ ձևալորկության եղանակից, հաջուրկում է կուռուցիլ առացված հավասպումների համակարգի վասկ ֆանկցիոնալ ըսծում և տտանալ չարժման բնուրագրիչ մեծությունների (արագույթյան, օնշում, շվանան ուժի փուիրկանան օրենքների՝ կակակած կետի կուրդինատներից և ժամանակից։ Առավա հասաքրթություն են ներկալացնում, հատերագրե չվանան ուժի համար տասցված արդյունքները։ Պարգվում է, որ արտերի ծակուուների չությունը փորթյունը հորջուցնում է չլիման ուժի համար տասցված արդյումբները։ Պարգվում է, որ արտերի ծակուուների երթրացնում է չլիման ուժի համար տասցված արդյումբները։ Պարգվում է, որ արտերի ծակուությունը փորթյացնում է չլիման ուժի հեժությունը, որը ունի գործնական նշանակայում։

G.H. Babajanian On the development of nonstationary viscous liquid motion between parallel permeable walls

Задачи о развитии течения вязкой жидкости в пропицаемых трубах помимо теоретического интереса имеют также многочисленные приможения и размичных отраслях современной техники, промышленности, сельского хозяйства, медиципы и т.д. Интерес к таким задачам особенно понышается, когда движение жидкости имеет пестационарный характер, т.е. течение жидкости развивается не только по координатам, но и по премени. В этих случаях решения усложияжится, так как на характер движения влияют не только граничные, но и пачальные условия, дифференциальные уравнения движения становятся сложными и трудов поддающимися решению.

В предлагаемой работе рассматривается пестационаряое илотермическое течение песжимаемой вязкой жидкости в плоском канале с проницаемыми стенками.

1. Предположим, что поступающая в плоский канал жидкость во всех точках входного сечения в начале движения имеет постоянную, равномерно-распределенную по сечению скорость $\{U\}$ и постоянное давление $\{p_H\}$. Дальнейшее течение жидкости происходит в канале, степки которого проницаемы с заданной постоянной скоростью отсоса или вдува $\{\mathbf{V}_0\}$.

Требуется определить развитие движения жидкости со временем и по координатам, принимая, параллельные степки канала пеограниченными по осям ox и oz.

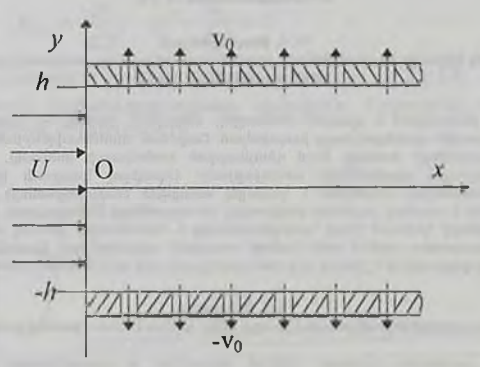
Пренебрегая действием силы тяжести, рассматривая движение жидкости плоско-параллельным и неустановившимся, для решения поставленной задачи используем следующую систему исходных уравнений:

$$\frac{\partial \mathbf{v}_{x}}{\partial t} + U \frac{\partial \mathbf{v}_{x}}{\partial x} = -\frac{1}{\rho} \frac{\partial p}{\partial x} + \mathbf{v} \frac{\partial^{2} \mathbf{v}_{x}}{\partial y^{2}}
\frac{\partial p}{\partial y} = 0, \quad \frac{\partial \mathbf{v}_{x}}{\partial x} + \frac{\partial \mathbf{v}_{y}}{\partial y} = 0$$
(1.1)

Эта система получена из уравнений Навье-Стокса с частичным учетом слагаемых от ускорения и вязкости.

В системе уравнений (1.1) V_x и V_y – компоненты скорости потока по осям ox и oy, соответственно, p – давление, ρ – плогность, v – кинематический коэффициент вязкости жидкости. Принимая расстояние между плоскостями равным 2h и начало координат на оси симметрии канала (фиг. 1), начальные и граничные условия задачи примут вид:

при
$$t = 0$$
, $x = 0$ $v_x = U$, $v_y = 0$, $p = p_H$ при $t > 0$, $x > 0$, $y = h$ $v_x = 0$, $v_y = v_0 = \text{const}$ при $t > 0$, $x > 0$, $y = -h$ $v_x = 0$, $v_y = -v_0$ (1.2)



Фиг. 1. Схема илоского канала с нараллельными процицаемыми стенками

Отметим, что если в условиях (1.2) для величин скорости \mathbf{V}_{ν} на верхней и нижней степках взять обратные знаки, то вместо отсоса будет иметь место вдув жидкости в трубу. При решении задач удобно перейти к безразмерным величинам

$$\xi = \frac{x}{h}$$
, $\eta = \frac{y}{h}$, $u = \frac{\mathbf{v}_x - U}{U}$, $\mathbf{v} = \frac{\mathbf{v}_y}{U}$, $\Phi = \frac{p - p_H}{\rho U^2}$, $T = \frac{U}{h}t$

тогда система уравнений (1.1) и красвые условия (1.2) примут вид:

$$\frac{\partial u}{\partial T} + \frac{\partial u}{\partial \xi} = -\frac{\partial \Phi}{\partial \xi} + \frac{1}{R_e} \frac{\partial^2 u}{\partial \eta^2}$$

$$\frac{\partial \Phi}{\partial \eta} = 0, \quad \frac{\partial u}{\partial \xi} + \frac{\partial v}{\partial \eta} = 0$$

$$\text{при } T = 0, \quad \xi = 0 \qquad \qquad u = 0, \quad \mathbf{v} = 0, \quad \Phi = 0$$

$$\text{при } T > 0, \quad \xi > 0, \quad \eta = 1 \qquad \qquad u = -1, \quad \mathbf{v} = \frac{\mathbf{v}_0}{U}$$

$$\text{при } T > 0, \quad \xi > 0, \quad \eta = -1 \qquad \qquad u = -1, \quad \mathbf{v} = -\frac{\mathbf{v}_0}{U}$$

$$\mathbf{I} = -1, \quad \mathbf{v} = -\frac{\mathbf{v}_0}{U}$$

Здесь $R_s = \frac{Uh}{V}$ — число Рейнольдса.

2. Решим задачу методом операционного исчисления. Применяя двумерное интегральное преобразование Лапласа к уравнениям (1.3) и краевым условиям (1.4) по переменным ξ и T, получим

$$\frac{d^2\overline{u}}{d\eta^2} - R_c(s_1 + s_2)\overline{\overline{u}} = R_c s_1 \overline{\overline{\Phi}}$$

$$\frac{d\overline{\overline{\Phi}}}{d\eta} = 0, \quad s_1\overline{\overline{u}} + \frac{d\overline{\overline{v}}}{d\eta} = 0$$
при $T = 0, \quad \xi = 0$

$$\overline{\overline{u}} = 0, \quad \overline{\overline{\Phi}} = 0$$
при $T > 0, \quad \xi > 0, \quad \eta = 1$

$$\overline{\overline{u}} = -\frac{1}{s_1 s_2}, \quad \overline{\overline{v}} = \frac{v_0}{s_1 s_2 U}$$
при $T > 0, \quad \xi > 0, \quad \eta = -1$

$$\overline{\overline{u}} = -\frac{1}{s_1 s_2}, \quad \overline{\overline{v}} = -\frac{v_0}{s_1 s_2 U}$$
(2.2)

где

$$\overline{\overline{u}}(s_1, s_2, \eta) = \int_0^\infty \int_0^\infty \exp\left[-(s_1 \xi + s_2 T)\right] u(\xi, \eta, T) d\xi dT$$

$$\overline{\overline{v}}(s_1, s_2, \eta) = \int_0^\infty \int_0^\infty \exp\left[-(s_1 \xi + s_2 T)\right] v(\xi, \eta, T) d\xi dT$$

$$\overline{\overline{\Phi}}(s_1, s_2) = \int_0^\infty \int_0^\infty \exp\left[-(s_1 \xi + s_2 T)\right] \Phi(\xi, T) d\xi dT$$

а s_1 и s_2 – параметры двумерного преобразования Лапласа по переменным ξ и T соответственно.

Общим решением первого уравнения системы (2.1) является

$$\overline{\overline{u}} = C_1 e^{\beta \eta} + C_2 e^{-\beta \eta} - \frac{s_1 \overline{\Phi}}{s_1 + s_2}$$
(2.3)

где

$$\beta^2 = R_a(s_1 + s_2)$$

Определяя постоянные интегрирования из граничных условий (2.2), решение уравнения (2.1) примет следующий вид:

$$\overline{\overline{u}} = \left(\frac{\cosh\beta\eta}{\cosh\beta} - 1\right) \frac{s_1 \overline{\Phi}}{s_1 + s_2} - \frac{1}{s_1 s_2} \frac{\cosh\beta\eta}{\cosh\beta}$$
(2.4)

Подставляя (2.4) в третъе уравнение системы (2.2), интегрируя по переменной η в пределах от 1 до -1 и с учетом граничных условий (2.2) аля значения функции $\overline{\Phi}(s_1,s_2)$ получим:

$$\overline{\overline{\Phi}}(s_1, s_2) = \frac{(s_1 + s_2) \operatorname{th} \beta}{s_1^2 s_2(\operatorname{th} \beta - \beta)} - \frac{v_0 \beta(s_1 + s_2)}{s_1^3 s_2 U(\operatorname{th} \beta - \beta)}$$
(2.5)

Применяя двумерное обратное преобразование Λ анласа к уравнениям (2.4), (2.5) и переходя к первоначальным переменным, для искомых величин V_x и p , получим:

$$\begin{aligned} \mathbf{v}_{x} &= U \Bigg\{ \frac{3}{2} \Bigg(1 - \frac{y^{2}}{h^{2}} \Bigg) - 2 \sum_{n=1}^{\infty} \Bigg(1 - \frac{\cos \gamma_{n} y / h}{\cos \gamma_{n}} \Bigg) \frac{1}{\gamma_{n}^{2}} \exp \Bigg(- \frac{\gamma_{n}^{2} v x}{U h^{2}} \Bigg) - \\ &- 2 \sum_{n=1}^{\infty} \left(1 - \frac{\cos \lambda_{n} y / h}{\cos \lambda_{n}} \right) \frac{1}{\lambda_{n}^{2}} \Bigg[\exp \Bigg(- \frac{\lambda_{n}^{2} v t}{h^{2}} \Bigg) - \exp \Bigg(- \frac{\lambda_{n}^{2} v x}{U h^{2}} \Bigg) \Bigg] \Bigg\} + \mathbf{v}_{0} \Bigg\{ \frac{3}{2} \left(\frac{y^{2}}{h^{2}} - 1 \right) \frac{x}{h} + \frac{1}{2} \left(\frac{y^{2}}{h^{2}} - 1 \right) \frac{x}{h} + \frac{1$$

$$+ \frac{Uh}{8v} \left(\frac{y^{4}}{h^{4}} - 1 \right) - \frac{3Uh}{20v} \left(\frac{y^{2}}{h^{2}} - 1 \right) - \frac{2Uh}{v} \sum_{n=1}^{\infty} \left(1 - \frac{\cos \gamma_{n} y / h}{\cos \gamma_{n}} \right) \frac{1}{\gamma_{n}^{4}} \exp \left(-\frac{\gamma_{n}^{2} v x}{U h^{2}} \right) +$$

$$+ \frac{2(x - Ut)}{h} \sum_{n=1}^{\infty} \left(1 - \frac{\cos \lambda_{n} y / h}{\cos \lambda_{n}} \right) \frac{1}{\lambda_{n}^{2}} \exp \left(-\frac{\lambda_{n}^{2} v t}{h^{2}} \right) -$$

$$- \frac{2Uh}{v} \sum_{n=1}^{\infty} \left(1 - \frac{\cos \lambda_{n} y / h}{\cos \lambda_{n}} \right) \frac{1}{\lambda_{n}^{2}} \left[\exp \left(-\frac{\lambda_{n}^{2} v t}{h^{2}} \right) - \exp \left(-\frac{\lambda_{n}^{2} v x}{U h^{2}} \right) \right] \right\}$$

$$(2.6)$$

$$p = p_{H} - \rho U^{2} \left\{ \frac{3vx}{U h^{2}} + \frac{1}{5} - 2 \sum_{n=1}^{\infty} \frac{1}{\gamma_{n}^{2}} \exp \left(-\frac{\gamma_{n}^{2} v x}{U h^{2}} \right) + \frac{2(x - Ut)v}{U h^{2}} \sum_{n=1}^{\infty} \exp \left(-\frac{\lambda_{n}^{2} v t}{U h^{2}} \right) -$$

$$- 2 \sum_{n=1}^{\infty} \frac{1}{\lambda_{n}^{2}} \left[\exp \left(-\frac{\lambda_{n}^{2} v t}{h^{2}} \right) - \exp \left(-\frac{\lambda_{n}^{2} v x}{U h^{2}} \right) \right] - \frac{v_{0}}{U} \left[\frac{3vx^{2}}{2Uh^{3}} - \frac{6x}{5h} - \frac{Uh}{175v} +$$

$$+ \frac{2Uh}{v} \sum_{n=1}^{\infty} \frac{1}{\gamma_{n}^{2}} \exp \left(-\frac{\gamma_{n}^{2} v x}{U h^{2}} \right) + \frac{(x - Ut)^{2}}{U h^{3}} \sum_{n=1}^{\infty} \exp \left(-\frac{\lambda_{n}^{2} v t}{h^{2}} \right) -$$

$$- \frac{2(x - Ut)}{h} \sum_{n=1}^{\infty} \frac{1}{\lambda_{n}^{2}} \exp \left(-\frac{\lambda_{n}^{2} v t}{h^{2}} \right) + \frac{2Uh}{v} \sum_{n=1}^{\infty} \frac{1}{\lambda_{n}^{2}} \left[\exp \left(-\frac{\lambda_{n}^{2} v t}{h^{2}} \right) - \exp \left(-\frac{\lambda_{n}^{2} v t}{U h^{2}} \right) \right] \right]$$

Из третьего уравнения системы (1.3) определим V,

$$v_{y} = \frac{2v}{h} \left[\sum_{n=1}^{\infty} \left(\frac{y}{h} - \frac{\sin \lambda_{n} y/h}{\sin \lambda_{n}} \right) \exp\left(-\frac{\lambda_{n}^{2} vx}{Uh^{2}} \right) - \sum_{n=1}^{\infty} \left(\frac{y}{h} - \frac{\sin \gamma_{n} y/h}{\sin \gamma_{n}} \right) \exp\left(-\frac{\gamma_{n}^{2} vx}{Uh^{2}} \right) - v_{0} \left\{ \frac{1}{2} \left(\frac{y^{3}}{h^{3}} - \frac{3y}{h} \right) + 2 \sum_{n=1}^{\infty} \left(\frac{y}{h} - \frac{\sin \gamma_{n} y/h}{\sin \gamma_{n}} \right) \frac{1}{\gamma_{n}^{2}} \exp\left(-\frac{\gamma_{n}^{2} vx}{Uh^{2}} \right) + 2 \sum_{n=1}^{\infty} \left(\frac{y}{h} - \frac{\sin \lambda_{n} y/h}{\sin \lambda_{n}} \right) \frac{1}{\lambda_{n}^{2}} \left[\exp\left(-\frac{\lambda_{n}^{2} vt}{h^{2}} \right) - \exp\left(-\frac{\lambda_{n}^{2} vx}{Uh^{2}} \right) \right] \right\}$$

$$(2.8)$$

В формулах (2.6) — (2.8) $\lambda_n = -i\sqrt{R_c(s_1+s_2)}$ и $\gamma_n = -i\sqrt{R_cs_1}$ являются действительными корнями уравнения $\lg \lambda_n = \lambda_n$ и $\lg \gamma_n = \gamma_n$ соответственно.

Сила трения определяется по формуле

$$\tau = \mu \left(\frac{\partial v_x}{\partial y} + \frac{\partial v_y}{\partial x} \right) = \frac{\mu U}{h} \left\{ -\frac{3y}{h} - 2\sum_{n=1}^{\infty} \frac{\sin \lambda_n y/h}{\sin \lambda_n} \left[\exp \left(\frac{-\lambda_n^2 vt}{h^2} \right) - \exp \left(\frac{-\lambda_n^2 vx}{Uh^2} \right) \right] - 2\sum_{n=1}^{\infty} \frac{\sin \gamma_n y/h}{\sin \gamma_n} \exp \left(\frac{-\gamma_n^2 vx}{Uh^2} \right) \right\} - \frac{\mu v_n}{h} \left\{ \frac{3xy}{h^2} + \frac{Uy^3}{2vh^2} - \frac{3Uy}{10v} - 2\frac{Uh}{v} \sum_{n=1}^{\infty} \frac{1}{\gamma_n^2} \frac{\sin \gamma_n y/h}{\sin \gamma_n} \exp \left(\frac{-\gamma_n^2 vx}{Uh^2} \right) + \frac{2(x-Ut)}{h} \sum_{n=1}^{\infty} \frac{\sin \lambda_n y/h}{\sin \lambda_n} \exp \left(\frac{-\lambda_n^2 vt}{h^2} \right) - 2\frac{Uh}{v} \sum_{n=1}^{\infty} \frac{1}{\lambda_n^2} \frac{\sin \lambda_n y/h}{\sin \lambda_n} \left[\exp \left(\frac{-\lambda_n^2 vt}{h^2} \right) - \exp \left(\frac{-\lambda_n^2 vx}{Uh^2} \right) \right] + \frac{2\mu v^2}{Uh^3} \left\{ \left[\sum_{n=1}^{\infty} \left(\frac{y}{h} - \frac{\sin \gamma_n y/h}{\sin \gamma_n} \right) \gamma_n^2 \exp \left(\frac{-\gamma_n^2 vx}{Uh^2} \right) - \frac{2\mu v^2}{Uh^2} \right] \right\} \right\}$$

$$-\sum_{n=1}^{\infty} \left(\frac{y}{h} - \frac{\sin \lambda_n y / h}{\sin \lambda_n} \right) \lambda_n^2 \exp \left(\frac{-\lambda_n^2 v x}{U h^2} \right) \right] +$$
 (2.9)

$$+\frac{2\mu v_{0}v}{Uh^{2}}\left[\sum_{n=1}^{\infty}\left(\frac{y}{h}-\frac{\sin\gamma_{n}y/h}{\sin\gamma_{n}}\right)\exp\left(\frac{-\gamma_{n}^{2}vx}{Uh^{2}}\right)-\sum_{n=1}^{\infty}\cdot\left(\frac{y}{h}-\frac{\sin\lambda_{n}y/h}{\sin\lambda_{n}}\right)\exp\left(\frac{-\lambda_{n}^{2}vx}{Uh^{2}}\right)\right]$$

Здесь и - динамический коэффициент вязкости.

Силы трения на стенках будут:

$$\tau_{v=h} = -\frac{\mu U}{h} \left\{ 3 + 2 \sum_{n=1}^{\infty} \exp\left(\frac{-\gamma_{n}^{2} vx}{Uh^{2}}\right) + 2 \sum_{n=1}^{\infty} \left[\exp\left(\frac{-\lambda_{n}^{2} vt}{h^{2}}\right) - \exp\left(\frac{-\lambda_{n}^{2} vx}{Uh^{2}}\right) \right] \right\} + \frac{\mu v_{0}}{h} \left\{ \frac{3x}{h} + \frac{Uh}{5v} - \frac{2Uh}{v} \left[\sum_{n=1}^{\infty} \frac{1}{\gamma_{n}^{2}} \exp\left(\frac{-\gamma_{n}^{2} vx}{Uh^{2}}\right) + \frac{2(x-Ut)}{h} \sum_{n=1}^{\infty} \cdot \exp\left(\frac{-\lambda_{n}^{2} vt}{h^{2}}\right) - \frac{2Uh}{h^{2}} \right\} \right\}$$

$$\left\{ -\frac{2Uh}{v} \sum_{n=1}^{\infty} \cdot \frac{1}{\lambda_{n}^{2}} \left[\exp\left(\frac{-\lambda_{n}^{2} vt}{h^{2}}\right) - \exp\left(\frac{-\lambda_{n}^{2} vx}{Uh^{2}}\right) \right] \right\}$$

$$\left\{ 3 + 2 \sum_{n=1}^{\infty} \exp\left(\frac{-\gamma_{n}^{2} vx}{Uh^{2}}\right) + 2 \sum_{n=1}^{\infty} \left[\exp\left(\frac{-\lambda_{n}^{2} vt}{h^{2}}\right) - \exp\left(\frac{-\lambda_{n}^{2} vx}{Uh^{2}}\right) \right] \right\}$$

$$\left\{ -\frac{\mu v_{0}}{h} \left\{ \frac{3x}{h} + \frac{Uh}{5v} - \frac{2Uh}{v} \sum_{n=1}^{\infty} \frac{1}{\lambda_{n}^{2}} \exp\left(\frac{-\lambda_{n}^{2} vx}{Uh^{2}}\right) - \frac{2(x-Ut)}{h} \sum_{n=1}^{\infty} \exp\left(\frac{-\lambda_{n}^{2} vt}{h^{2}}\right) - \frac{2Uh}{h} \sum_{n=1}^{\infty} \left[\exp\left(\frac{-\lambda_{n}^{2} vt}{h^{2}}\right) - \exp\left(\frac{-\lambda_{n}^{2} vt}{h^{2}}\right) - \frac{2Uh}{h} \sum_{n=1}^{\infty} \left[\exp\left(\frac{-\lambda_{n}^{2} vt}{h^{2}}\right) - \exp\left(\frac{-\lambda_{n}^{2} vt}{h^{2}}\right) - \frac{2Uh}{h} \sum_{n=1}^{\infty} \left[\exp\left(\frac{-\lambda_{n}^{2} vt}{h^{2}}\right) - \exp\left(\frac{-\lambda_{n}^{2} vt}{h^{2}}\right) - \frac{2Uh}{h} \sum_{n=1}^{\infty} \left[\exp\left(\frac{-\lambda_{n}^{2} vt}{h^{2}}\right) - \exp\left(\frac{-\lambda_{n}^{2} vt}{h^{2}}\right) \right] \right\}$$

$$\left\{ -\frac{2Uh}{v} \sum_{n=1}^{\infty} \frac{1}{\lambda_{n}^{2}} \left[\exp\left(\frac{-\lambda_{n}^{2} vt}{h^{2}}\right) - \exp\left(\frac{-\lambda_{n}^{2} vx}{Uh^{2}}\right) - \frac{2(x-Ut)}{h} \sum_{n=1}^{\infty} \exp\left(\frac{-\lambda_{n}^{2} vt}{h^{2}}\right) - \frac{2(x-Ut)}{h} \sum_{n=1}^{\infty} \left[\exp\left(\frac{-\lambda_{n}^{2} vt}{h^{2}}\right) - \frac{2(x-Ut)}{h} \right] \right\} \right\}$$

В случае непроницаемых стенок будем иметь:

$$v_{x} = U \left\{ \frac{3}{2} \left(1 - \frac{y^{2}}{h^{2}} \right) - 2 \sum_{n=1}^{\infty} \left(1 - \frac{\cos \gamma_{n} y / h}{\cos \gamma_{n}} \right) \frac{1}{\gamma_{n}^{2}} \exp \left(\frac{-\gamma_{n}^{2} v x}{U h^{2}} \right) - 2 \sum_{n=1}^{\infty} \left(1 - \frac{\cos \lambda_{n} y / h}{\cos \lambda_{n}} \right) \frac{1}{\lambda_{n}^{2}} \left[\exp \left(\frac{-\lambda_{n}^{2} v t}{h^{2}} \right) - \exp \left(\frac{-\lambda_{n}^{2} v x}{U h^{2}} \right) \right] \right\}$$

$$v_{y} = \frac{2v}{h} \left[\sum_{n=1}^{\infty} \left(\frac{y}{h} - \frac{\sin \gamma_{n} v / h}{\sin \gamma_{n}} \right) \exp \left(\frac{-\gamma_{n}^{2} v x}{h^{2}} \right) - \sum_{n=1}^{\infty} \left(\frac{y}{h} - \frac{\sin \lambda_{n} y / h}{\sin \lambda_{n}} \right) \exp \left(\frac{-\lambda_{n}^{2} v x}{U h^{2}} \right) \right]$$

$$p = p_{H} - \rho U^{2} \left\{ \frac{3vx}{U h^{2}} + \frac{1}{5} - 2 \sum_{n=1}^{\infty} \frac{1}{\gamma_{n}^{2}} \exp \left(\frac{-\gamma_{n}^{2} v x}{U h^{2}} \right) + \frac{2(x - Ut)}{U h^{2}} \sum_{n=1}^{\infty} \frac{\exp \left(\frac{-\lambda_{n}^{2} v t}{h^{2}} \right) - 2 \sum_{n=1}^{\infty} \frac{1}{\lambda_{n}^{2}} \left[\exp \left(\frac{-\lambda_{n}^{2} v t}{h^{2}} \right) - \exp \left(\frac{-\lambda_{n}^{2} v x}{U h^{2}} \right) \right] \right\}$$

$$\tau = -\frac{\mu U}{h} \left[\frac{3y}{h} + 2 \sum_{n=1}^{\infty} \frac{\sin \gamma_{n} y / h}{\sin \gamma_{n}} \exp \left(\frac{-\gamma_{n}^{2} v x}{U h^{2}} \right) + 2 \sum_{n=1}^{\infty} \frac{\sin \lambda_{n} y / h}{\sin \lambda_{n}} \times \left[\exp \left(\frac{-\lambda_{n}^{2} v t}{h^{2}} \right) - \exp \left(\frac{-\lambda_{n}^{2} v x}{U h^{2}} \right) \right]$$

$$(2.14)$$

$$\tau_{y=h} = -\frac{\mu U}{h} \left\{ 3 + 2 \sum_{n=1}^{\infty} \exp\left(\frac{-\gamma_n^2 v x}{U h^2}\right) + 2 \sum_{n=1}^{\infty} \left[\exp\left(\frac{-\lambda_n^2 v t}{h^2}\right) - \exp\left(\frac{-\lambda_n^2 v x}{U h^2}\right) \right] \right\}$$
 (2.16)

$$\tau_{y=-h} = \frac{\mu U}{h} \left\{ 3 + 2 \sum_{n=1}^{\infty} \cdot \exp\left(\frac{-\gamma_n^2 vx}{Uh^2}\right) + 2 \sum_{n=1}^{\infty} \cdot \left[\exp\left(\frac{-\lambda_n^2 vt}{h^2}\right) - \exp\left(\frac{-\lambda_n^2 vx}{Uh^2}\right) \right] \right\}$$
(2.17)

Отметим, что во всех формулах суммы со знаком "штрих" равны нулю при 0 < x < Ut и отличны от пуля при x > Ut [1].

3. Анализ полученных результатов.

- Формулы (2.6)—(2.11) определяют законы изменения характерных величин пестационарного течения вязкой несжимаемой жидкости в плоском канале с проницаемыми стенками, когда скорость отсоса на стенках постоянна.
- Из полученных формул видно, что проницаемость стенок существенно влияет на характер движения жидкости.
- Важное практическое начение имеют результаты, полученные для силы трения в слоях жидкости и на стенках канала. Так, например, вычисления показывают, что сила трения при прочих равных условиях на проницаемых стенках меньше, чем на непроницаемых стенках.
- Исследования результатов показывают, что из решения задачи о пеустановившемся движении получается решение об установившемся движении при стремлении 1 к бескопечности.
- Из результатов данной работы вытекает много различных частных случаев, исследованных другими авторами [2], [3], [4], [5].
- Интересно отметить, что удовлетворением начальных и граничных условий не только доказывается равномерная сходимость бесконечных рядов, входящих в решение задачи, но и получаются значения некоторых бесконечных сумм в конечном виде. Так, например,

$$\sum_{n=1}^{\infty} \frac{1}{\lambda_n^4} = \frac{1}{350}. \sum_{n=1}^{\infty} \frac{1}{\lambda_n^4} \frac{\cos \lambda_n x}{\cos \lambda_n} = \frac{3}{40} x^2 - \frac{1}{16} x^4 - \frac{27}{2800}.$$
$$\sum_{n=1}^{\infty} \frac{1}{\lambda_n^2} \frac{\sin \lambda_n x}{\sin \lambda_n} = \frac{1}{4} x^2 - \frac{13}{20} x$$

где λ_n – действительные корни уравнения $tg\lambda_n=\lambda_n$.

Работа выполнена в рамках паучной темы №94-670 финанспруемой государственными источниками Республики Армении.

ЛИТЕРАТУРА

- Корн Г. и Корн Т. Справочник по математике.-М.: Изд. Наука, 1968. 230с.
- Слезкин Н.А. О развитии течения вязкой жидкости между парадледыными пористыми степками.-ПММ, т. 21, вып. 4, 1967.
- Тарг С.М. Основные задачи теории даминарных течений.-М.-А.: Гостехтеориздат, 1961. 249с.
- Шлихтинг Г.А. Теория пограничного слоя.-М.: Изд иностр. лит., 1966.
 241c.
- Бабаджанян Г.А., Мнацаканян Р.Ж. О развитии течения вязкой жидкости между параллельными движущимися плоскостями.-Изв. АН Арм.ССР, Мехапика, 1987, т. 40, №3, с. 49-53.

Ереванский государственный университет

Поступила в редакцию 24.06.1996